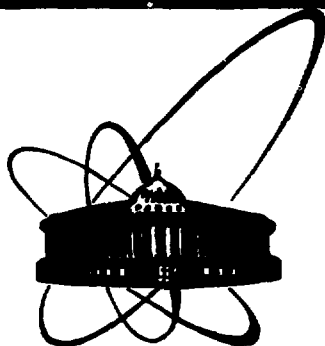


e

SM?2, 04456



**СООБЩЕНИЯ
ОБЪЕДИНЕННОГО
ИНСТИТУТА
ЯДЕРНЫХ
ИССЛЕДОВАНИЙ
ДУБНА**

P3-82-11

Х.Малэцки, А.Б.Попов, К.Тщецяк

**АНАЛИЗ СРЕДНИХ РАДИАЦИОННЫХ ШИРИН
НЕЙТРОННЫХ РЕЗОНАНСОВ**

1982

В последние годы появились новые данные о полных радиационных ширинах нейтронных резонансов различных изотопов^{/1-19/}. Наличие дополнительного экспериментального материала стимулировало получение новой оценки средних радиационных ширин по всей доступной совокупности данных и выполнение аналогичного проведенному ранее в^{/14,16/} анализа зависимости Γ_γ от основных параметров ядра.

Оценки средних радиационных ширин и их ошибок выполнены для ядер в интервале атомных весов от $A=50$ до $A=250$. Используются параметры нейтронных резонансов из^{/1/}, полученные до середины 1973 г., и более поздние данные, опубликованные до 1981 г. Для каждого ядра усреднение проводилось по всем v -резонансам, для которых были известны Γ_γ . В большинстве случаев в качестве $\bar{\Gamma}_\gamma$ вычислялись средневзвешенные значения

$$\bar{\Gamma}_\gamma = \sum_{i=1}^n w_i \Gamma_{\gamma i}, \quad /1/$$

где n - число резонансов для данного изотопа, а веса

$$w_i = \frac{(\Delta\Gamma_{\gamma i})^{-2}}{\sum_{i=1}^n (\Delta\Gamma_{\gamma i})^{-2}}. \quad /2/$$

Здесь $\Delta\Gamma_{\gamma i}$ - экспериментальные ошибки радиационных ширин. Ошибки $\Delta\bar{\Gamma}_\gamma$ оценивались в границах с доверительной вероятностью $P=0,95$ следующим образом:

$$\Delta\bar{\Gamma}_\gamma = \begin{cases} t_\alpha(n)S & \text{для } S > \sigma, \\ 2\sigma & \text{для } \sigma > S, \end{cases} \quad /3/$$

$$S = \left(\frac{\sum_{i=1}^n w_i \Gamma_{\gamma i}^2 - \left(\sum_{i=1}^n w_i \Gamma_{\gamma i} \right)^2}{n-1} \right)^{1/2}, \quad /4/$$

$$\sigma = \frac{1}{\sqrt{\sum_{i=1}^n (\Delta\Gamma_{\gamma i})^{-2}}}, \quad /5/$$

$t_\alpha(n)$ - коэффициент Стьюдента для $\alpha=1-P$. Если оказывалось, что χ^2 -критерий не выполнялся /т.е. $(n-1)S^2/\sigma^2$ было больше $\chi_\alpha^2(n-1)$ /, то вычислялось среднееарифметическое значение

$$\bar{\Gamma}_\gamma = \sum_{i=1}^n \Gamma_{\gamma i} / n, \quad /6/$$

а ошибка бралась в виде

$$\Delta \bar{\Gamma}_\gamma^i = t_\alpha(n) \sqrt{\frac{\sum_{i=1}^n (\Gamma_{\gamma i} - \bar{\Gamma}_\gamma^i)^2}{n(n-1)}}. \quad /7/$$

Оценки $\bar{\Gamma}_\gamma$ представлены на рис.1 и включены в табл.1.

В этой таблице для первых 132 ядер $\bar{\Gamma}_\gamma$ получены усредненные трех и более значений Γ_γ для разных резонансов каждого ядра. Для ядер с №133 по №144 оценки $\bar{\Gamma}_\gamma$ вычислены только по двум резонансам, а в конце таблицы помещены ядра, для которых значения Γ_γ известны только для одного резонанса.

В настоящее время теория, будучи не в состоянии описывать правильно свойства высоковозбужденных состояний ядер, способна на основании ряда моделей предсказывать характеристики уровней, усредненные по многим состояниям, и их глобальную зависимость от числа нуклонов в ядре или энергии возбуждения. Теоретические оценки полных радиационных ширин проводились не раз, начиная с Блатта и Вайскопфа^{16/} в предположении различных представлений для матричных элементов электромагнитных

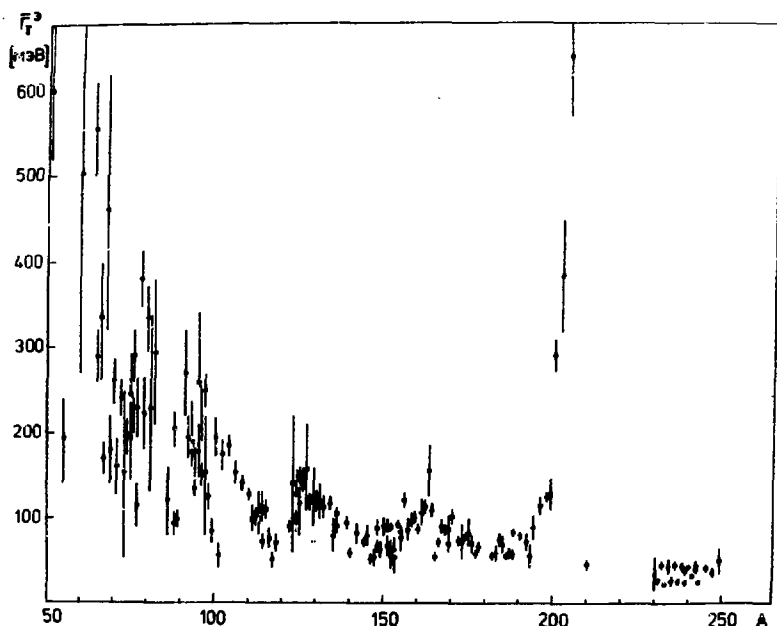


Рис.1. Экспериментальные значения средних радиационных ширин $\bar{\Gamma}_\gamma$ в зависимости от атомного веса A.

переходов. В^{16/} с использованием одночастичной оценки для матричного элемента и в предположении, что основной вклад в Γ_γ вносят E1-переходы, было получено следующее выражение для полной радиационной ширины:

$$\Gamma_\gamma = 0,2 A^{2/3} \frac{1}{D_0} \int_0^U E_\gamma^3 \frac{D(U)}{D(U-E_\gamma)} dE_\gamma, \quad /8/$$

где U - энергия возбуждения, D(U) - расстояние между уровнями при энергии возбуждения U, D₀ - расстояние между уровнями вблизи основного состояния. /Здесь Γ_γ - в эВ, E_γ , D₀, D(U) - в МэВ/. Если воспользоваться общепринятой в статистической модели формулой для плотности уровней

$$\rho(U) = \frac{1}{D(U)} = \frac{1}{a U^2} \exp(2\sqrt{aU}) \quad /9/$$

и оценкой $D_0 \sim A^{-1/3}$, то из /8/ можно получить

$$\Gamma_\gamma = CA \left(\frac{U}{a}\right)^2. \quad /10/$$

Следуя Акселю^{/17/}, можно связать вероятность радиационного перехода с характеристиками дипольного гигантского резонанса /ДГР/. В этом случае можно получить^{/14/} такую зависимость полной радиационной ширины от параметров A, U, a:

$$\Gamma_\gamma = CA^{7/3} U^{2,2} a^{-2,8}, \quad /11/$$

или

$$\Gamma_\gamma = CA^{7/3} (U/a)^{5/2}, \quad /12/$$

как это показано в работе^{/18/} в предположении, что ширина ДГР постоянна в широком диапазоне атомных весов.

В работе Зарецкого-Сироткина^{/19/} была предпринята попытка использовать оболочечный подход к описанию ДГР, что приводит к следующему выражению для Γ_γ :

$$\Gamma_\gamma = CA^{7/3} (U/a)^{7/2}. \quad /13/$$

Более детальное количественное рассмотрение низкоэнергетической части сечения фотопоглощения в рамках оболочечного подхода и на этой основе анализ полных радиационных ширин проведены в недавней работе Бондаренко-Урина^{/18/}. Из полученной в этой работе связи ширины ДГР с мнимой частью оптического потенциала и параметрами A, U и a следует, что

$$\Gamma_\gamma = C_1 A^{5/3} \left(\frac{U}{a}\right)^{5/2} + C_2 A^{7/3} \left(\frac{U}{a}\right)^{7/2}. \quad /14/$$

Как видно из формул /10/-/14/, разные теоретические подходы приводят к существенно различающимся зависимостям Γ_γ от параметров A , U , a . Ниже приводятся результаты сравнения рассчитанных по формулам /10/-/14/ значений Γ_γ^P с полученными экспериментальными оценками средних радиационных ширин.

Экспериментальные данные по Γ_γ , $\Delta\Gamma_\gamma$ и использованные при анализе параметры представлены в табл.1, где приведены заряд Z и массовое число A компаунд-ядра, энергия связи нейтрона V_n , параметр Δ , учитывающий спаривание нуклонов в ядре при вычислении эффективной энергии возбуждения $U = V_n - \Delta$, параметр плотности уровней a . Параметры a и Δ взяты из работы /20/, в которой они вычислены в рамках модели ферми-газа с введением фиктивного основного состояния, и описывают плотность уровней при низкой энергии возбуждения и при энергии связи нейтрона. Для некоторых ядер, не рассматривавшихся в /20/, a и Δ вычислены указанным в этой работе методом.

Для сравнения экспериментальных данных с теоретическими предсказаниями использовалась программа, которая с помощью стандартной процедуры FUMILI /21/ минимизировала функционал

$$\chi^2 = \sum_{i=1}^m \left(\frac{\Gamma_{\gamma i}^P - \bar{\Gamma}_{\gamma i}^{\text{эксп}}}{\Delta \bar{\Gamma}_{\gamma i}^{\text{эксп}}} \right)^2.$$

В сумму были включены данные для $m = 131$ ядра из верхней части табл.1 до 144 номера. Часть ядер из этой группы была исключена из анализа из-за большого вклада их в χ^2 . Исключенные ядра в основном расположены вблизи замкнутых оболочек и отмечены в таблице знаком *.

На основании формул /10/-/13/ радиационную ширину можно представить в виде

$$\Gamma_\gamma^P = C A^\alpha U^\beta a^\gamma. \quad /15/$$

Программа позволяла проводить расчеты для любой комбинации фиксированных и свободных параметров C , α , β , γ . Для варианта Бондаренко-Урина подгонка проводилась для суммы из двух членов /14/ с указанными в этой формуле наборами значений α , β , γ и для свободных положительных коэффициентов C_1 и C_2 .

Результаты анализа представлены в левой части табл.2. Для каждого варианта помимо величины χ^2/m в отдельном столбце приведено среднее относительное отклонение расчетных от экспериментальных значений

$$\delta = \frac{1}{m} \sum_{i=1}^m \frac{|\Gamma_{\gamma i} - \bar{\Gamma}_{\gamma i}^{\text{эксп}}|}{\bar{\Gamma}_{\gamma i}^{\text{эксп}}}.$$

В нашем случае эта величина является более реальной мерой соответствия расчетных значений экспериментальным, т.к. параметр

χ^2 в значительной мере чувствителен не только к отклонениям

Γ_y^p от $\bar{\Gamma}_y^{\text{т.э.}}$, но и к оцененным ошибкам $\Delta\bar{\Gamma}_y$. Для каждого варианта проводились повторные вычисления χ^2/m и δ с включением в анализ данных для ядер с №145 по №172 из табл.1 с фиксированными значениями коэффициентов C /и α , β , γ в случае свободных параметров/, полученными в расчетах для $m=131$. Эти результаты, соответствующие $m=158$, также представлены в табл.2 и показывают, что включение в анализ ядер, для которых известны Γ_y только для одного резонанса, не оказывает существенного влияния на значения χ^2/m и δ .

Как показывает табл.2, из теоретических оценок Γ_y наименьшие значения χ^2/m и δ дает формула Вайскопфа /10/ /вариант 1/. Более низкие значения χ^2/m и δ получены лишь для варианта 6, когда все параметры были свободны. Для вариантов 1 и 6 расчетные значения Γ_y^p отличаются от $\bar{\Gamma}_y^{\text{т.э.}}$ в среднем не более чем на 28%. Для варианта 5 /Бондаренко-Урин/ согласие расчетных значений Γ_y^p с экспериментальными несколько хуже: $\delta=0,32$. Заметим, что при подгонке в варианте 5 был "выключен" член с большими степенями /т.е. в расчетах C_2 получилось равным 0/. Наибольшее расхождение Γ_y^p и $\bar{\Gamma}_y^{\text{т.э.}}$ имеет место для вариантов 2 и 3 /Аксель/, $\delta=0,44$, причем в этих вариантах расчетные ширины систематически меньше экспериментальных в области $A < 140$.

Принимая во внимание, что статистическая модель предсказывает приблизительную линейную зависимость параметра плотности уровней α от атомного веса, мы использовали еще один способ сравнения теоретических оценок Γ_y с экспериментальными радиационными ширинами, полагая в вариантах 1+5 α пропорциональным A . В случае свободных параметров мы исключили вообще зависимость Γ_y^p от α . Результаты этих расчетов приведены в правой части табл.2, а также на рис.2, где показаны отношения $\bar{\Gamma}_y^{\text{т.э.}}/\Gamma_y^p$ в зависимости от A . При принятой гипотезе $\alpha \sim A$ соответствие расчетных значений Γ_y^p экспериментальным становится для вариантов 1+5 по χ^2/m в 2+3 раза лучше, чем при учете индивидуальных значений α , величины δ при этом уменьшаются на 10+60%. Интересно отметить, что если из левых и правых формул табл.2 оценить с учетом найденных значений коэффициентов C коэффициент пропорциональности k ($\alpha = kA$), то для вариантов 1+5 получим одно и то же значение $k=0,110$, которое близко к оценке $k=0,125$, полученной, например, Малышевым¹²². Таким образом, результаты, приведенные в правой части табл.2, показывают, что отказ от индивидуальных значений параметра плотности уровней α в теоретических оценках Γ_y приводит к лучшему соответствию Γ_y^p экспериментальным значениям $\bar{\Gamma}_y^{\text{т.э.}}$. Это обстоятельство указывает на нечувствительность полных радиационных ширин к структуре $\alpha(A)$, т.е. к структуре в зависимости плотности уровней от атомного веса.

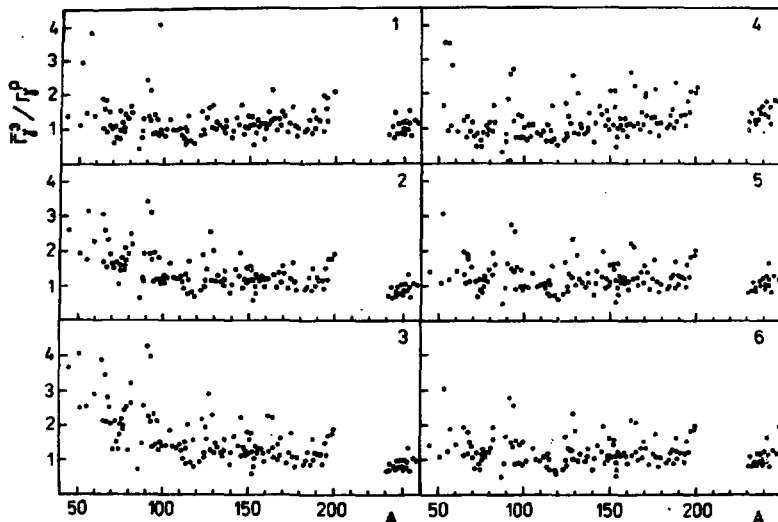


Рис. 2. Отношения $\bar{\Gamma}_{\gamma}^{\gamma} / \Gamma_{\gamma}^P$ для случая $a = kA$ в зависимости от атомного веса A . Цифры 1÷6 соответствуют номерам вариантов из правой части табл. 2 при вычислениях Γ_{γ}^P .

Следует обратить внимание на то, что формула для Γ_{γ}^P , полученная для свободных параметров без учета зависимости Γ_{γ} от a , фактически совпадает с формулой Бондаренко-Урина для случая $a = kA$:

$$\begin{aligned} \Gamma_{\gamma}^P &= 32,1 U^{2,56} / A^{0,823} && \text{— свободные параметры,} \\ \Gamma_{\gamma}^P &= 37,8 U^{2,5} / A^{0,833} && \text{— формула Бондаренко-Урина.} \end{aligned}$$

Результаты, представленные в табл. 2 и на рис. 2, показывают, что ни одному из вариантов теоретических оценок Γ_{γ} нельзя отдать явного предпочтения по соответствию Γ_{γ}^P экспериментальным значениям, особенно в случае принятия гипотезы $a = kA$, когда δ меняется всего в пределах от 0,23 до 0,33. Кроме того, из рис. 2 видно, что ни один из теоретических подходов не способен детально описать экспериментальные радиационные ширины: во всех вариантах имеет место значительный нерегулярный разброс около единицы отношений $\bar{\Gamma}_{\gamma}^{\gamma} / \Gamma_{\gamma}^P$ для соседних ядер. Поэтому сведение оценки Γ_{γ} к простой зависимости от таких параметров ядра, как A , U , a , следует понимать только как грубое приближение. Можно надеяться, что дальнейшее развитие

полумикроскопического подхода /18,19/ и последовательное использование более тонких характеристик компаунд-ядра позволяет достигнуть лучшего соответствия теоретических оценок Γ_y экспериментальным данным. Интересным и важным для всех вариантов теоретических оценок Γ_y остается вопрос о правильной абсолютной нормировке Γ_y , который требует особого рассмотрения.

В заключение авторы выражают глубокую благодарность М.Г. Уричу и В.И. Бондаренко за замечания и неоднократные полезные обсуждения. Мы признательны также Л.Б. Ликельверу и В.И. Фурману за интерес к работе и ее поддержке.

Таблица 1

№ п/п	Z	A	B_n	Δ	α	$\bar{\Gamma}_y$	Интервал
1	20	44	II,14	0,79	5,48	778 ± 133	/2/
2*	22	48	II,63	0,66	5,85	2020 ± 115	/1/
3	23	52	7,31	-2,38	5,59	1240 ± 260	/1,4/
4*	24	51	9,26	-0,45	5,58	1760 ± 614	/1/
5*	24	53	7,94	0,14	6,06	2090 ± 1360	/1/
6*	24	54	9,72	0,55	6,01	2350 ± 620	/1/
7*	26	58	10,04	0,82	6,79	2150 ± 925	/1/
8	27	60	7,49	-2,16	6,86	503 ± 230	/1/
9*	28	59	9,00	-0,76	5,77	3130 ± 214	/1/
10*	28	61	7,82	-0,56	6,69	1730 ± 320	/1/
11*	28	62	10,60	1,07	7,27	2108 ± 194	/1/
12.	29	64	7,92	-1,07	8,40	556 ± 55	/1/
13	29	66	7,07	-0,63	8,92	334 ± 61	/1/
14	31	70	7,66	-0,94	9,46	261 ± 26	/1/
15	31	72	6,52	-1,71	9,69	241 ± 20	/1/
16	32	71	7,42	-1,11	9,39	160 ± 33	/1/
17	32	73	6,78	-1,11	9,86	154 ± 90	/1/
18	32	74	10,20	0,94	10,26	196 ± 18	/1/

Таблица 1 / продолжение /

№ п/п	Z	A	B_n	Δ	Q	\bar{r}_x	Интер- валы
19	33	76	7,33	-1,45	10,81	290 ± 30	/I/
20	34	75	8,02	-1,03	10,37	246 ± 48	/I/
21	34	77	7,42	-1,02	10,35	230 ± 37	/I/
22	34	78	10,50	1,15	10,66	381 ± 33	/I/
23	34	79	6,98	-0,51	10,95	223 ± 43	/I/
24	35	80	7,88	-1,32	10,93	334 ± 38	/I/
25	35	82	7,60	-0,64	11,79	294 ± 82	/I/
26	37	86	8,65	-1,10	9,61	121 ± 40	/I/
27	40	91	7,20	0,57	10,26	270 ± 50	/I/
28	40	92	8,64	1,16	10,87	194 ± 27	/I/
29	40	93	6,76	0,81	12,31	190 ± 48	/I/
30	41	94	7,23	-0,76	11,98	135 ± 11	/I/
31	42	93	8,07	0,66	10,36	177 ± 16	/I/
32	42	95	7,38	0,22	11,27	177 ± 33	/I/
33	42	96	9,15	0,83	11,34	151 ± 13	/I/
34	42	97	6,82	-0,15	12,04	152 ± 71	/I/
35	42	98	8,64	0,67	12,06	126 ± 14	/I/
36	42	99	5,92	-0,50	13,43	86 ± 15	/I/
37	42	101	5,39	-0,31	15,03	56 ± 15	/I/
38	44	100	9,67	0,50	11,77	195 ± 22	/I, IO/
39	44	102	9,22	0,48	13,01	174 ± 18	/I, IO/
40	45	104	7,00	-1,02	14,67	166 ± 12	/I/
41	46	106	9,56	1,21	14,44	152 ± 12	/I, II/
42	47	108	7,27	-0,90	14,80	140 ± 8	/I/
43	47	110	6,81	-0,92	15,79	129 ± 5	/I/
44	49	111	6,98	-0,42	13,70	100 ± 16	/I/

Таблица 1 /продолжение/

$\frac{N}{n}$	Z	A	B_n	Δ	a	\bar{r}_y	Интер- тура
45	48	I12	9,40	1,31	14,82	103 ± 10	/I/
46	48	I13	6,54	-0,38	14,81	102 ± 18	/I/
47	48	I14	9,04	1,46	15,74	113 ± 20	/I/
48	48	I15	6,15	-0,20	16,31	111 ± 20	/I/
49	49	I14	7,31	-0,26	15,23	74 ± 7	/I/
50	49	I16	6,78	-0,78	15,33	77 ± 11	/I/
51	50	I18	9,33	1,45	14,59	72 ± 11	/I/
52	51	I22	6,81	-1,21	14,90	91 ± 5	/I/
53	51	I24	6,47	-1,39	14,04	97 ± 11	/I/
54	51	I23	6,93	0,06	15,80	141 ± 80	/I/
55	52	I24	9,42	1,12	14,85	129 ± 27	/I/
56	52	I25	6,59	-0,51	15,33	119 ± 40	/I/
57	52	I26	9,11	1,27	15,10	145 ± 13	/I/
58	52	I27	6,30	-0,08	16,18	158 ± 51	/I/
59	52	I29	6,09	-0,35	15,79	126 ± 31	/I/
60	53	I28	6,82	-1,20	14,95	120 ± 9	/I3/
61	54	I30	9,26	1,02	14,74	121 ± 12	/I/
62	54	I32	8,94	1,32	14,91	114 ± 13	/I/
63	55	I34	6,89	-1,32	14,01	118 ± 7	/I, I3/
64	56	I36	9,11	1,45	14,83	107 ± 4	/I/
65	59	I42	5,84	-0,41	15,58	83 ± 12	/I/
66	60	I44	7,82	1,48	16,58	73 ± 4	/I/
67	60	I46	7,57	1,29	17,76	52 ± 5	/I/
68	60	I49	5,07	-0,41	18,70	64 ± 8	/I/
69	60	I51	5,31	-0,36	19,39	69 ± 11	/I/

Таблица 1 / продолжение /

№	Z	A	B _n	Δ	α	\bar{r}_x	Интер- тура
70	61	148	5,89	-0,60	17,30	68 ± 7	/V
71	62	148	8,14	0,64	16,80	89 ± 10	/I, 12/
72	62	150	7,99	0,61	18,98	91 ± 11	/I, 12/
73	62	152	8,27	0,0	18,33	57 ± 16	/V
74	62	153	5,86	-0,97	18,35	63 ± 11	/V
75	62	155	5,81	-0,96	17,08	78 ± 18	/V
76	63	152	6,30	-1,02	21,16	91 ± 3	/V
77	63	154	6,44	-0,65	21,04	94 ± 3	/V
78	64	153	6,49	-0,74	19,64	55 ± 18	/V
79	64	155	6,45	-0,78	19,86	85 ± 5	/V
80	64	156	8,53	0,15	18,14	112 ± 6	/V
81	64	157	6,37	-0,67	17,93	87 ± 12	/V
82	64	158	7,93	0,28	17,83	98 ± 7	/V
83	64	159	7,93	-0,63	18,03	101 ± 5	/V
94	64	161	5,63	-0,46	17,99	107 ± 14	/V
85	65	160	6,38	-0,98	18,99	88 ± 4	/V
86	66	162	8,20	0,15	17,75	114 ± 5	/I, 12/
87	66	164	7,66	-0,14	16,52	111 ± 7	/I, 12/
88	67	166	6,24	-1,02	18,07	72 ± 3	/V
89	68	167	6,44	-0,49	18,71	90 ± 8	/V
90	68	168	7,77	0,17	17,81	87 ± 4	/V
91	68	169	6,00	-0,42	18,42	86 ± 13	/V
92	69	170	6,59	-0,83	19,26	103 ± 7	/V
93	70	172	8,08	0,27	18,81	75 ± 4	/V
94	70	173	6,37	-0,51	18,19	73 ± 21	/V
96	70	174	7,47	0,47	18,43	79 ± 2	/V

Таблица 1 / продолжение /

№	Z	A	B _n	Δ	α	\bar{r}	Класс- тип
96	71	176	6,29	-0,75	19,66	71 ± 10	/I,9/
97	72	178	7,26	0,29	19,40	66 ± 5	/I,8/
98	73	182	6,06	-0,87	19,42	56 ± 3	/I/
99	74	183	6,19	-0,67	18,36	58 ± 10	/I/
100	74	184	7,41	0,42	19,70	76 ± 6	/I/
101	74	185	5,75	-0,86	18,46	69 ± 10	/I/
102	74	187	5,47	-0,15	20,46	59 ± 5	/I/
103	75	186	6,18	-0,81	20,19	55 ± 2	/I,7/
104	75	189	5,87	-0,90	20,52	58 ± 4	/I,7/
105	76	188	7,99	0,73	19,66	84 ± 3	/I0,13/
106	76	190	7,79	0,59	19,95	80 ± 2	/I0,13/
107	77	192	6,20	-0,80	21,25	73 ± 10	/I/
108	78	193	6,29	-0,70	18,10	55 ± 15	/I/
109	78	196	7,92	0,75	19,55	116 ± 9	/I/
110	79	198	6,51	-0,84	17,76	125 ± 5	/I/
111	80	199	6,65	-0,66	17,43	129 ± 18	/I/
112 [#]	80	200	8,03	0,55	16,32	290 ± 18	/I/
113 [#]	80	202	7,76	0,83	16,13	384 ± 66	/I/
114 [#]	81	206	6,50	-0,77	11,52	767 ± 100	/I/
115 [#]	82	205	6,73	-0,02	15,55	920 ± 447	/I/
116	90	230	6,79	0,25	25,38	34 ± 20	/I/
117	90	231	5,13	-0,61	26,43	26 ± 3	/I/
118	90	233	4,79	-0,58	26,27	21 ± 1	/I/
119	91	232	5,58	-0,80	15,10	44 ± 4	/I/
120	92	234	6,84	0,11	24,74	43 ± 10	/I/
121	92	236	6,55	0,36	26,34	43 ± 2	/I/

Таблица 1 / продолжение /

№ п/п	Z	A	B _n	Δ	α	\bar{r}_y	Интервал
122	92	237	5,12	-0,23	26,56	24 ± 1	/1/
123	92	239	4,80	-0,58	27,33	23 ± 1	/1/
124	93	238	5,48	-0,67	26,62	43 ± 3	/1/
125	94	239	5,66	-0,53	24,22	37 ± 3	/1/
126	94	240	6,53	0,58	26,79	41 ± 2	/1/
127	94	241	5,24	-0,67	25,04	31 ± 1	/1/
128	94	242	6,31	1,09	26,0	39 ± 3	/1/
129	94	243	5,02	-0,70	26,04	23 ± 1	/1/
130	95	242	5,53	-0,60	26,40	41 ± 6	/1/
131	96	245	5,52	-0,37	25,02	40 ± 2	/1/
132	96	249	4,71	-0,60	25,29	48 ± 14	/1/
133	26	57	7,65	-0,48	6,22	1045 ± 405	/1/
134	30	68	10,20	0,75	7,97	460 ± 140	/1/
135	32	75	6,49	-1,22	9,14	195 ± 50	/1/
136	34	81	6,70	-0,21	11,45	230 ± 97	/1/
137*	40	95	6,48	0,48	12,39	280 ± 80	/1/
138	60	147	5,30	-0,45	18,12	55 ± 8	/1/
139	62	151	5,59	-0,96	18,23	89 ± 10	/1/
140	70	175	5,82	-0,36	18,22	63 ± 14	/1/
141	71	177	7,07	-0,41	18,74	59 ± 2	/1/
142	77	194	6,07	-0,83	19,61	90 ± 14	/1/
143	78	196	6,12	-0,72	18,50	69 ± 17	/1/
144	96	247	5,16	-0,55	23,69	35 ± 5	/1/
145	23	51	11,05	0,21	6,39	600 ± 80	/1/
146	24	55	6,28	-0,56	6,28	190 ± 50	/1/
147	25	56	7,27	-2,46	6,45	732 ± 113	/3/

Таблица 1 /продолжение/

$\frac{m}{n}$	Z	A	B_n	Δ	a	\bar{y}	Авто- ратура
148	26	55	9,30	-0,40	5,70	2500 \pm 500	/I/
149	28	63	6,84	0,44	7,94	760 \pm 120	/I/
150	28	65	6,84	0,30	8,14	760 \pm 150	/I/
151	30	65	7,98	-0,84	8,04	294 \pm 30	/I/
152	30	67	7,05	-0,09	8,85	170 \pm 20	/I/
153	30	69	6,48	-0,29	8,43	180 \pm 30	/I/
154	32	77	6,02	-0,32	10,50	115 \pm 25	/I/
155	37	88	6,08	-0,70	8,70	95 \pm 13	/I/
156	38	88	II, II	1,97	9,25	205 \pm 20	/I/
157	38	89	6,36	0,92	8,95	100 \pm 10	/I/
158	40	97	5,57	0,52	12,30	250 \pm 20	/I/
159	50	113	7,74	0,69	15,97	110 \pm 21	/I/
160	50	117	6,94	0,39	15,30	52 \pm 8	/I/
161	54	136	7,99	1,42	15,01	91 \pm 10	/I/
162	56	131	7,49	-0,10	15,70	120 \pm 20	/I/
163	56	135	6,98	-0,22	15,51	80 \pm 20	/I/
164	57	139	8,78	0,08	13,15	95 \pm 6	/I,5/
165	57	140	5,16	-1,07	13,91	60 \pm 4	/I/
166	60	145	5,76	0,31	17,19	80 \pm 12	/I/
167	66	163	6,27	-0,88	17,22	155 \pm 30	/I/
168	66	165	5,72	-0,77	17,04	55 \pm 3	/I/
169	70	169	6,84	0,88	17,20	70 \pm 10	/I/
170	81	204	6,66	-0,37	12,69	640 \pm 70	/I/
171	83	210	4,60	-1,23	11,43	45 \pm 5	/I,6/
172	92	235	5,31	-0,36	25,82	25 \pm 6	/I/

Таблица 2

№ п/п	Номер формулы	Вид формулы	Вид формулы			Вид формулы		
			m	λ/m	δ	m	λ/m	δ
1	(10)	$\sqrt{y} = 2,86A \left(\frac{U}{a}\right)^2$	131	15,9	0,28	131	9,04	0,23
			158	16,5	0,30	158	9,48	0,25
2	(11)	$\sqrt{y} = 0,0192A^{7/3} \frac{U^{2,2}}{a^{2,8}}$	131	35,2	0,44	131	12,6	0,28
			158	33,0	0,45	158	11,9	0,30
3	(12)	$\sqrt{y} = 0,0044A^{7/3} \left(\frac{U}{a}\right)^{5/2}$	131	34,6	0,44	131	15,3	0,32
			158	32,7	0,46	158	15,8	0,35
4	(13)	$\sqrt{y} = 0,0122A^{7/3} \left(\frac{U}{a}\right)^{7/2}$	131	32,9	0,37	131	17,8	0,33
			158	36,2	0,39	158	18,5	0,35
5	(14)	$\sqrt{y} = 0,153A^{5/3} \left(\frac{U}{a}\right)^{5/2} + 0$	131	21,4	0,32	131	8,60	0,26
			158	28,3	0,36	158	9,41	0,28
6	(15) сводные	$\sqrt{y} = 38,7 \frac{U^{2,43}}{A^{0,632} a^{0,311}}$	131	8,50	0,23	131	8,60	0,24
			158	9,41	0,25	158	9,44	0,26

ЛИТЕРАТУРА

1. Mughabghab S.F., Garber D.I. Neutron Cross Sections. BNL-325, 3rd ed., 1973, vol.1.
2. Macklin R.L. Nucl.Phys., 1977, A279, p.317.
3. Garg J.B., Macklin R.L., Halperin J. Phys.Rev., 1978, C18, p.2079.
4. Winter R.R., Macklin R.L., Halperin J. Phys.Rev., 1978, C18, p.2092.
5. Hocken G. et al. Phys.Rev., 1976, C13, p.1884.
6. Singh U.N. et al. Phys.Rev., 1976, C13, p.124.
7. Namenson A.I., Stolovy A. Nucl.Phys., 1976, A266, p.83.
8. Rohr G., Weigmann H. Nucl.Phys., 1976, A264, p.93.
9. Namenson A.I., Stolovy A., Smith G.L. Nucl.Phys., 1975, A237, p.45.
10. Попов А.Б., Тшецяк К., Хван Чер Гу. ЯФ, 1979, 29, с.561.
11. Попов А.Б., Тшецяк К., Хван Чер Гу. ОИЯИ, РЗ-11013, Дубна, 1977.
12. Попов А.Б., Тшецяк К., Хван Чер Гу. ЯФ, 1980, 32, с.603.
13. Попов А.Б., Тшецяк К. ОИЯИ, РЗ-81-19, Дубна, 1981; ОИЯИ, РЗ-81-721, Дубна, 1981.
14. Малэцки Х. и др. ЯФ, 1971, 13, с.240.
15. Гаруска У., Малэцки К., Тшецяк К. Acta Physica Polonica, 1977, vol.В8, No.3, p.219.
16. Блатт Дж., Вайскопф В. Теоретическая ядерная физика. ИЛ, 1954.
17. Axel P. Phys.Rev., 1962, 126, p.671.
18. Бондаренко В.И., Урин М.Г. ЯФ, 1982, 35, с.675.
19. Зарецкий Д.Ф., Сироткин В.К. ЯФ, 1978, 27, с.5347.
20. Dilg W., Schantl W., Vonach H. Nucl.Phys., 1973, A217, p.269.
21. Федорова Р.Н. и др. ОИЯИ, Б1-11-5190, Дубна, 1970, с.88.
22. Малышев А.В. ЖЭТФ, 1963, т.45, вып.2, с.316.

Рукопись поступила в издательский отдел
11 января 1982 года.

НЕТ ЛИ ПРОБЕЛОВ В ВАШЕЙ БИБЛИОТЕКЕ?

Вы можете получить по почте перечисленные ниже книги,
если они не были заказаны ранее.

D1,2-9224	IV Международный семинар по проблемам физики высоких энергий. Дубна, 1975.	3 р. 60 к.
D-9920	Труды Международной конференции по набранным вопросам структуры ядра. Дубна, 1976.	3 р. 50 к.
D9-10500	Труды II Симпозиума по коллективным методам ускорения. Дубна, 1976.	2 р. 50 к.
D2-10533	Труды X Международной школы молодых ученых по физике высоких энергий. Баку, 1976.	3 р. 50 к.
D13-11182	Труды IX Международного симпозиума по ядерной электронике. Варна, 1977.	5 р. 00 к.
D17-11490	Труды Международного симпозиума по набранным проблемам статистической механики. Дубна, 1977.	6 р. 00 к.
D6-11574	Сборник аннотаций XV совещания по ядерной спектроскопии и теории ядра. Дубна, 1978.	2 р. 50 к.
D3-11787	Труды XIII Международной школы по нейтронной физике. Алушта, 1978.	3 р. 00 к.
D13-11807	Труды XIII Международного совещания по пропорциональным и дрейфовым камерам. Дубна, 1978.	6 р. 00 к.
	Труды VI Всесоюзного совещания по ускорителям заряженных частиц. Дубна, 1978 /2 тома/	7 р. 40 к.
D1,2-12036	Труды V Международного семинара по проблемам физики высоких энергий. Дубна, 1978	5 р. 00 к.
P18-12147	Труды III Совещания по использованию ядерно-физических методов для решения научно-технических и народнохозяйственных задач. Дубна, 1978.	2 р. 20 к.
D1,2-12450	Труды XII Международной школы молодых ученых по физике высоких энергий. Принкесско, ИРБ, 1978.	3 р. 00 к.
P2-12462	Труды V Международного совещания по нелокальным теориям поля. Алушта, 1979.	2 р. 25 к.
D-12831	Труды Международного симпозиума по фундаментальным проблемам теоретической и математической физики. Дубна, 1979.	4 р. 00 к.
D4-80-271	Труды Международной конференции по проблемам нескольких тел в ядерной физике. Дубна, 1979.	3 р. 00 к.
D4-80-385	Труды Международной школы по структуре ядра. Алушта, 1980.	5 р. 00 к.
	Труды VII Всесоюзного совещания по ускорителям заряженных частиц. Дубна, 1980 /2 тома/	8 р. 00 к.
D11-80-13	Труды рабочего совещания по системам и методам аналитических вычислений на ЭВМ и их применению в теоретической физике. Дубна, 1979	3 р. 50 к.
D2-81-158	Труды XIV Международной школы молодых ученых по физике высоких энергий. Дубна, 1980	3 р. 50 к.

Заказы на упомянутые книги могут быть направлены по адресу:
101000 Москва, Главпочтамт, п/я 79
Издательский отдел Объединенного института ядерных исследований

Малецки Х., Попов А.Б., Тщецяк К.

P3-82-11

Анализ средних радиационных ширин нейтронных резонансов

С использованием доступных данных о параметрах нейтронных резонансов вычислены средние значения радиационных ширин для широкого круга ядер в интервале атомных весов от 50 до 250. Проводится сравнение экспериментальных значений с разными вариантами теоретических оценок Γ_γ , которые сводятся к зависимости Γ_γ от атомного веса A , энергии возбуждения U и параметра плотности уровней a в виде $\Gamma_\gamma = CA^\alpha U^\beta a^\gamma$. Кроме того, подбирались эмпирические значения C, α, β, γ , наилучшим образом удовлетворяющие экспериментальным данным. Установлено, что использование гипотезы $a = kA$ приводит к существенно более хорошему соответствию всех теоретических оценок Γ_γ экспериментальным значениям. При этом оказалось, что оценки Γ_γ по Вайскопфу, Бондаренко-Урину или с эмпирически подобранными параметрами находятся примерно в одинаковом соответствии с экспериментальными данными.

Работа выполнена в Лаборатории нейтронной физики ОИЯИ.

Сообщение Объединенного института ядерных исследований. Дубна 1982

Malecki H., Popov A.B., Trzeciak K.

P3-82-11

Analysis of Average Radiation Widths
of Neutron Resonances

On the basis of the available data on parameters of neutron resonances average values of radiation widths are calculated for a wide range of nuclei in the 50 upto 250 atomic weight range. Experimental values are compared with different variants of theoretical estimates of Γ_γ which are reduced to the Γ_γ dependence upon atomic weight A , excitation energy U and level density parameter a as $\Gamma_\gamma = CA^\alpha U^\beta a^\gamma$. Besides, empirical values C, α, β, γ are selected satisfying to the experimental data best of all. It is determined that the use of $a = kA$ hypothesis leads to a sufficiently better agreement between all theoretical estimates of Γ_γ to experimental values. It turned out that the estimated by Weisskopf, Bondarenko-Urin or with empirically chosen parameters give an approximately similar correspondence of calculated values Γ_γ^p to experimental data.

The investigation has been performed at the Laboratory of Neutron Physics, JINR.

Communication of the Joint Institute for Nuclear Research. Dubna 1982

Перевод О.С.Виноградовой.

Редактор Н.Н.Зрелова. Макет Р.Д.Фоминой.
Набор В.С.Румянцевой, Н.И.Коротковой.

Подписано в печать 04.02.82.
Формат 60x90/16. Офсетная печать. Уч.-изд.листов 1,27.
Тираж 500. Заказ 30750.

Издательский отдел Объединенного института ядерных исследований.
Дубна Московской области.